



مجله علوم و تکنولوژی پلیمر،  
سال بیست و یکم، شماره ۲،  
صفحه ۱۳۸۷، ۱۵۷-۱۶۶  
ISSN : 1016-3255

# مدل سازی رفتار تورفتگی دیوارهای ساندویچی لانه زنبوری گرمانرم

وحید خلیلی معامیر، حمید رحیمی\*، میر حمید رضا قریشی، امیر مسعود رضادوست، مسعود اسفندی

تهران، پژوهشگاه پلیمر و پتروشیمی ایران، صندوق پستی ۱۴۹۶۵/۱۱۵

دریافت: ۸۶/۱۲/۱۲، پذیرش: ۸۷/۲/۱۸

## چکیده

لانه زنبوری‌های گرمانرم از جنس پلی‌پروپیلن یکی از جدیدترین انواع هسته‌های هستند که در دیوارهای ساندویچی مورد استفاده قرار گرفته‌اند. تا کنون بررسی‌های کمی روی خواص مکانیکی دیوارهای ساندویچی دارای هسته لانه زنبوری گرمانرم انجام شده و کمتر سعی شده است که خواص آنها شبیه‌سازی شود. در این مقاله، با توجه به شباهت رفتار مکانیکی لانه زنبوری‌ها با اسفنجهای سعی شد، واکنش لانه زنبوری‌ها در برابر تورفتگی ایستا با استفاده از مدل Crushable Foam که خاص اسفنجه است، به وسیله نرم‌افزار اجزای محدود ABAQUS شبیه‌سازی شود. منحنی به دست آمده از تحلیل عددی انتباخ خوبی را با منحنی تجربی تاباچه‌جایی حدود ۲۰ درصد ضخامت نمونه‌ها نشان می‌دهد. با توجه به این که در بارگذاری‌های ایستا معمولاً گسیختگی قطعه مد نظر نیست، به نظر می‌رسد، مدل Crushable Foam مدل مواد مناسبی برای شبیه‌سازی رفتار لانه زنبوری‌های گرمانرم در تحلیل‌های ایستاست.

## واژه‌های کلیدی

ساختمان ساندویچی،  
لانه زنبوری گرمانرم،  
خواص مکانیکی،  
تورفتگی، مدل سازی

\*مسئول مکاتبات، پیام نگار:

[h.rahami@ippi.ac.ir](mailto:h.rahami@ippi.ac.ir)

## Modelling of the Indentation Behaviour of Thermoplastic Honeycomb Sandwich Panels

V. Khalili Moghamir, H. Rahimi\*, M.H.R. Ghoreishy, A.M. Rezadoust,  
and M. Esfandeh

Iran Polymer and Petrochemical Institute, P.O. Box: 14965/115, Tehran, Iran

Received 2 March 2008; accepted 7 May 2008

## Abstract

Thermoplastic honeycombs based on polypropylene are one of the latest types of cores used in sandwich structures. Up to now there have been few experimental and modelling studies on the mechanical behaviour of sandwich structures with thermoplastic cores. In this paper, by considering the similar properties of foams and thermoplastic honeycombs, attempts are made to model the static indentation behaviour of honeycombs based on a crushable foam material model using the ABAQUS finite element programme. Comparison of the experimental results and numerical predictions for indentation values show a good correlation up to 20% depth of the panel thickness. It must be noted that in static indentations it would be irrelevant to study the rupture of the skins or cores and, therefore, the crushable foam model should be suitable for modelling the behaviour of thermoplastic honeycombs.

## Key Words

sandwich structure,  
thermoplastic honeycomb,  
mechanical properties,  
indentation, modeling

(\*) To whom correspondence should be addressed.

E-mail: [h.rahami@ippi.ac.ir](mailto:h.rahami@ippi.ac.ir)

## مقدمه

ساندویچی حاوی اسفنج شده، نسانگر اهمیت چسبندگی بین پوسته و هسته و اثر این پارامتر در نحوه شکست دیوارهای ساندویچی است [۱۰، ۱۱].

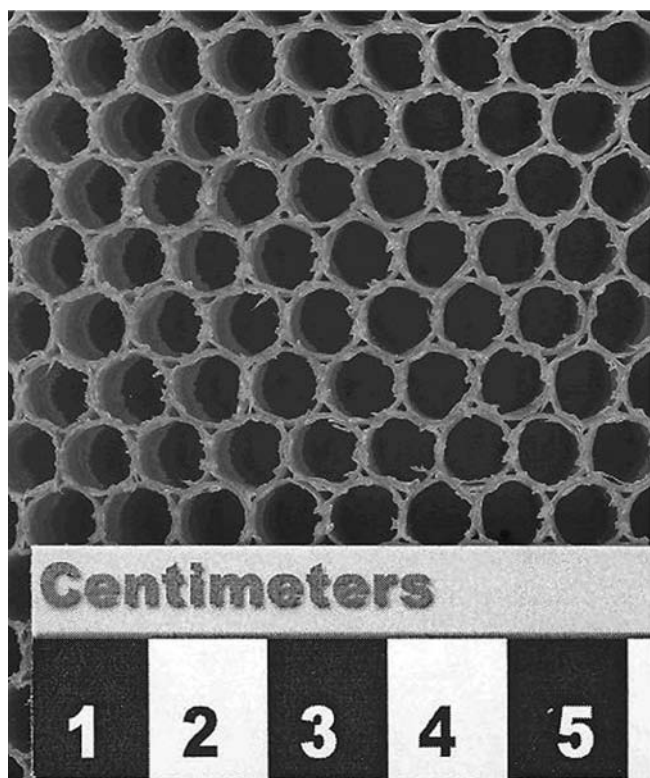
در شبیه‌سازی دیوارهای ساندویچی مشکل اصلی یافتن یک مدل موادی مناسب برای هسته است که قابلیت پیش‌بینی رفتار مکانیکی Crushable Foam که در برخی نرم افزارهای اجزای محدود قابل دسترس است، برای شبیه‌سازی هسته‌های اسفنجی استفاده شده است [۱۲، ۱۳]. اما برای شبیه‌سازی لانه زنبوری‌ها دو روش وجود دارد. در روش اول شکل هندسی ریزساختار لانه زنبوری به وسیله نرم افزارهای ویژه‌ای طراحی شده و خواص ماده سازنده لانه زنبوری به آن اختصاص داده می‌شود. این روش مشکلات زیادی دارد. مشکل اصلی روش این است که نمی‌توان آن را برای تمام لانه زنبوری‌ها به کار برد. مثلاً در لانه زنبوری‌های لوله‌ای که ناحیه تماس بین لوله‌ها در طول بارگذاری تغییر می‌کند، محاسبه ناحیه تماس بین لوله‌ها و نیروهای وارد شده بسیار دشوار است و نتایج هم‌گرایی خود را از دست می‌دهند. همچنین، در مواردی که بارگذاری در آنها به حالت خارج از صفحه لانه زنبوری است، شبیه‌سازی حتماً باید به شکل سه بعدی انجام شود. این امر باعث تعداد اجزا بسیار زیاد شده و با توجه به تغییر شکل‌های پیچیده‌ای که در لانه زنبوری‌ها روی می‌دهد، هم‌گرایی پاسخ‌ها به شدت با مشکل مواجه می‌شود. به دلیل مشکلات ذکر شده شبیه‌سازی فرایندهایی که موجب تغییر شکل زیادی در لانه زنبوری‌ها می‌شود، با این روش بسیار دشوار است. از این روش بیشتر در تحلیل‌های دو بعدی برای شبیه‌سازی از بارگذاری‌های درون صفحه‌ای استفاده شده است [۱۴، ۱۵]. بعضی از پژوهشگران از این روش برای شبیه‌سازی رفتار لانه زنبوری‌های آلومینیم یا نامکس با سلول‌های شش ضلعی استفاده کرده‌اند [۱۶، ۱۷]. در لانه زنبوری‌های دارای سلول‌های شش ضلعی ناحیه تماس چندان تغییر نمی‌کند، در ضمن مدل‌های مواد مناسبی برای شبیه‌سازی رفتار مکانیکی آلومینیم و نامکس در نرم افزارهای اجزای محدود موجود است. با توجه به این که پلی‌پروپیلن رفتار مکانیکی غیرخطی نسبتاً پیچیده‌ای دارد و مدل موادی چندان مناسبی برای پیش‌بینی رفتار آن وجود ندارد، استفاده از این روش برای شبیه‌سازی لانه زنبوری‌های پلی‌پروپیلن با سلول‌های دایره‌ای شکل بسیار دشوار است.

در روش دیگری که برای شبیه‌سازی استفاده می‌شود، لانه زنبوری مانند اسفنج‌ها همگن در نظر گرفته شده است. مشکل این روش آن است که در مورد لانه زنبوری‌ها مدل موادی که عمومیت زیادی داشته

دیوارهای ساندویچی ساختارهایی متشكل از ۲ پوسته نازک و قوی و یک هسته سبک، ضخیم و ضعیف هستند که با وجود وزن کم، استحکام و سفتی خمشی زیادی دارند. همچنین، این مواد دارای مزایایی نظیر جذب انرژی زیاد، عایق صوت و گرما نیز هستند. تاکنون انواع مختلفی از اسفنج‌ها و لانه زنبوری‌ها به عنوان هسته در دیوارهای ساندویچی موردن استفاده قرار گرفته‌اند، که هر کدام دارای مزایا و معایبی بوده‌اند [۱۸]. به تازگی استفاده از لانه زنبوری‌های پلی‌پروپیلن به عنوان هسته در دیوارهای ساندویچی رو به گسترش است. این مواد گرچه خواص مکانیکی ضعیف‌تری نسبت به لانه زنبوری‌های آلومینیمی و نامکس (Nomex) دارند و معمولاً در صنایع پیشرفت‌هه نظیر هوا - فضا استفاده نمی‌شوند، اما به دلیل ارزانی، سبکی، مقاومت ضربه بالا، قابلیت بازیافت و عایق گرمایی بودن در صنایع قایق‌سازی، خودرو و لوازم خانگی نظیر ساخت میز و در کاربرد پیدا کرده‌اند. پژوهش‌هایی که تاکنون درباره لانه زنبوری‌های پلی‌پروپیلن انجام شده، بیشتر مربوط به روش‌های تولید این مواد [۲۳] و بررسی خواص مکانیکی این نوع لانه زنبوری‌ها و دیوارهای ساندویچی ساخته شده از آنهاست [۴-۶]. درباره انتخاب چسب مناسب برای ساخت لانه زنبوری‌ها نیز مطالعاتی انجام شده است [۷، ۸]. اما تاکنون مطالعه جامعی در خصوص شبیه‌سازی دیوارهای ساندویچی لانه زنبوری گرمانم در برابر نیروهای مکانیکی انجام نشده است.

یکی از مهم ترین خواص دیوارهای ساندویچی، رفتار تورفتگی (indentation) (آنهاست [۹]). باید مذکور شد، دیوارهای ساندویچی در کنار مزایای پیش‌گفته، معایبی هم دارند. برای مثال این ساختارها در جهت عرضی سفتی کمی دارند که این موضوع باعث می‌شود، زیر بارهای متمنکر چهار خم شدگی موضعی شده و در نتیجه ظرفیت تحمل بار آنها کاهش می‌یابد. چنین آسیب‌هایی ممکن است، در نتیجه برخورد اشیای مختلف هنگام کاربرد دیواره ساندویچی ایجاد شود. تورفتگی ساختارهای ساندویچی ممکن است، باعث له شدن هسته و جدا شدن آن از پوسته شود، بدون این که آسیب محسوسی به پوسته‌ها وارد شود. با وجود سالم ماندن ظاهری پوسته‌ها، تورفتگی باعث کاهش مقاومت فشاری یا بررشی ساختار ساندویچی می‌شود. به دلیل شایع بودن چنین آسیب‌هایی در دیوارهای ساندویچی، بررسی تورفتگی آنها یکی از موضوعاتی است که پژوهش‌های زیادی روی آن انجام شده است. به علاوه رفتار خم شدگی موضعی دیوارهای ساندویچی را هم می‌توان از آزمون‌های تورفتگی ارزیابی کرد.

پژوهش‌هایی که درباره بررسی خواص مکانیکی دیوارهای



شکل ۱ - نمایی از لانه زنبوری پلی پروپیلن با سلول های دارای مقطع دایره ای شکل.

۱۹ GPa بود (جدول ۱). برای اتصال لوله های پلی پروپیلن به یک دیگر و همچنین چسباندن هسته به پوسته ها از نوعی چسب اپوکسی دوجزی استفاده شد. این چسب بر پایه نوعی اپوکسی آلفاتیک بود. به منظور جلوگیری از نفوذ چسب به داخل لوله ها از الیاف نباتی پلی استر با وزن  $60\text{ g/m}^2$  تهیه شده از شرکت لایی ساز، برای قرارگیری در بین هسته و پوسته ها استفاده شد.

دیواره های ساندویچی ساخته شده برای انجام آزمون تورفتگی به وسیله اره الماسه به شکل نمونه های مربعی با سطح مقطع  $80\times 80\text{ mm}$  بریده شدند. در این نمونه ها ضخامت هسته  $20\text{ mm}$  و ضخامت پوسته ها  $3\text{ mm}$  بودند.

جدول ۱- ثوابت کشسان پوسته و هسته دیواره ساندویچی.

نسبت پواسون	مدول (MPa)	نوع ماده
۰/۳	۱۹۰۰۰	کامپوزیت (پلی استر تقویت شده با الیاف شیشه)
۰/۱	۲۹۴	لانه زنبوری (پلی پروپیلن لوله ای شکل)

(۱) مدول کشسان  $[24]$ ، (۲) مدول فشاری  $[25]$ .

باشد، وجود ندارد. در بعضی از نرم افزارهای پیش رفته نظری LS-DYNA که مدل های موادی فوق العاده متنوع و پر تعدادی دارند، مدل خاصی برای لانه زنبوری ها وجود دارد. البته در اینجا هم محدودیت هایی وجود دارد، زیرا نرم افزار LS-DYNA نرم افزاری تخصصی برای شبیه سازی ضربه و مسایل بارگذاری با سرعت بالاست [۱۸، ۱۹] و نمی توان مسایل ایستا را با آن مدل کرد. بعضی از پژوهشگران سعی کرده اند با ایجاد اصلاحاتی روی مدل های موادی موجود [۲۰] یا ایجاد مدل های مواد جدیدی [۲۱] که برای انواع خاصی یا اشکال هندسی خاصی از لانه زنبوری قابل کاربرد است، رفتار لانه زنبوری ها را شبیه سازی کنند. این کار مستلزم انجام عملیات ریاضی پیچیده ای است و فقط برای نوع خاصی از لانه زنبوری کاربرد دارد و ممکن است با تغییر پارامترهای هندسی سلول ها یا نوع ماده کاربری خود را از دست بدهد.

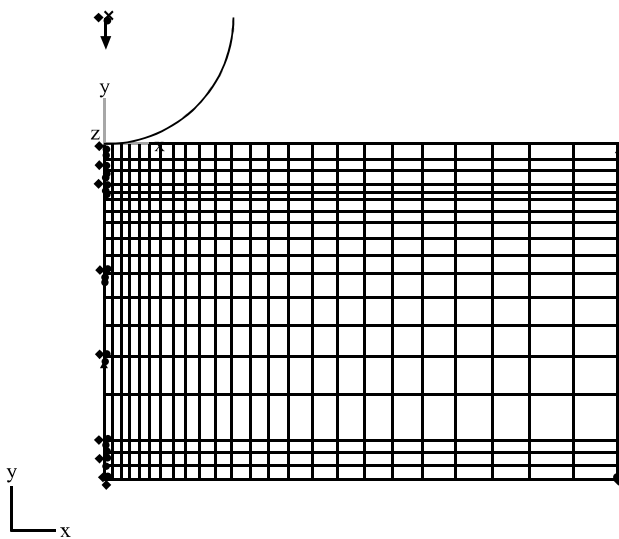
نوآوری این پژوهش، استفاده از مدل Crushable Foam به عنوان مدل مواد برای لانه زنبوری های پلی پروپیلن است. استفاده از این مدل برای لانه زنبوری های پلی پروپیلن به دلیل شباهت رفتار مکانیکی اسفنج ها و لانه زنبوری های پلی پروپیلن است. در بخش نظری درباره شباهت رفتار لانه زنبوری ها و اسفنج ها بحث می شود. در انتها باید یاد آور شد که استفاده از مدل های موادی مربوط به یک نوع ماده برای شبیه سازی ماده دیگر کار بی سابقه ای نیست و پیش از این بعضی از پژوهشگران رفتار دیواره های ساندویچی کامپوزیتی یک پارچه [۲۲] و اسفنج ها [۲۳] را با استفاده از مدل موادی Drucker-Prager که مخصوص موادی نظری شن و ماسه است، مدل کرده اند.

در این مقاله، رفتار تورفتگی دیواره های ساندویچی دارای پوسته کامپوزیت و هسته لانه زنبوری پلی پروپیلن با استفاده از نرم افزار اجزای محدود ABAQUS شبیه سازی شده است.

## تجربی

### مواد و روش ها

در بررسی حاضر از دیواره های ساندویچی دارای پوسته کامپوزیتی و هسته لانه زنبوری از جنس پلی پروپیلن استفاده شد. سلول های لانه زنبوری دارای مقطع دایره ای شکل بودند که ضخامت دیوار و قطر داخلی سلول ها به ترتیب  $2/۶$  و  $6\text{ mm}$  بود. در شکل ۱ مقطع لانه زنبوری نشان داده شده است. برای ساخت پوسته از  $6\text{ mm}$  الیاف شیشه بافته شده  $200\text{ گمی}$  از نوع E و رزین پلی استر نوع ایزو (۷۵۱۱۲۹) تولید شرکت صنایع شیمیابی بوشهر استفاده شد. کامپوزیت ساخته شده دارای مدول



شکل ۳- نحوه شبکه ای کردن و اعمال شرط مرزی در شبیه سازی.

شده اند. ۳ جزء در جهت ضخامت پوسته ها و ۱۲ جزء در جهت ضخامت هسته در نظر گرفته شد که اجزای نزدیک به ناحیه تماس، متراکم تر در نظر گرفته شدند. در کل ۳۶۰ جزء در این مدل ایجاد شد. با توجه به این که نمونه ها روی یک حفره دایره ای به قطر ۷۶ mm قرار می گرفتند، بنابراین تمام انواع جا به جایی ها در گوش پایین در سمت راست محدود شده است. حرکت گره های قرار گرفته روی محور تقارن در جهت (x) محدود شد. همچنین، برای در نظر گرفتن صفحه ای که هنگام انجام آزمون روی نمونه ها قرار می گیرد، فرض شده است که گره واقع در گوش سمت راست، در بالای نمونه نمی تواند در جهت (y) حرکت کند. استوانه اعمال کننده بار به عنوان جسم سخت در نظر گرفته شد و فرض شده است که این جسم تنها در جهت (y) جایه جایی شود. به جای اعمال نیرو، بار به وسیله جایه جایی استوانه در جهت (y) اعمال شد.

پوسته های کامپوزیتی به عنوان ماده کشسان در نظر گرفته شده و با مدل کشسان خطی مدل شدند که ثوابت کشسان آنها در جدول ۱ آورده شده است. با توجه به کم بودن جایه جایی اعمالی در نمونه ها هیچ ساز و کار آسیب و گسیختگی برای پوسته ها در نظر گرفته نشد.

Riftar مکانیکی هسته شامل دو بخش کشسان و پلاستیک است. بخش کشسان این Riftar با مدل کشسان خطی مدل شد. داده های ورودی استفاده شده در جدول ۱ آمده است. بخش پلاستیک Riftar لانه زنبوری با استفاده از مدل Crushable Foam مدل شد. این مدل در اصل برای شبیه سازی Riftar اسفنج های آلومینیمی ایجاد شد [۲۶]. اما، برخی پژوهشگران از آن برای شبیه سازی اسفنج های نیز استفاده کرده اند. در اینجا باید یاد آور شد که ساختارهای متخلخل به طور کلی Riftar مکانیکی

بود. سرعت دستگاه Instron برای انجام آزمون تورفتگی ۲ mm/min تنظیم شد و منحنی نیرو - جا به جایی حاصل ثبت شد. تورفتگی به وسیله استوانه ای فولادی اعمال شد که نوک آن نیم کره ای به شعاع ۱۰ mm بود. نمایی از نحوه قرارگیری نمونه ها و اعمال بار به طور شماتیک در شکل ۲ نشان داده شده است. ابتدا، نمونه ها روی صفحه ای قرار داده شدند که دارای حفره ای به شعاع ۷۶ mm بود. نمونه ها طوری روی این حفره قرار گرفتند که مرکز آنها بر مرکز حفره منطبق باشد. همچنین، صفحه فلزی دیگری روی نمونه ها قرار گرفت که آن هم دارای حفره ای به شعاع ۷۶ mm بود و به وسیله پیچ هایی به صفحه پایینی متصل می شد.

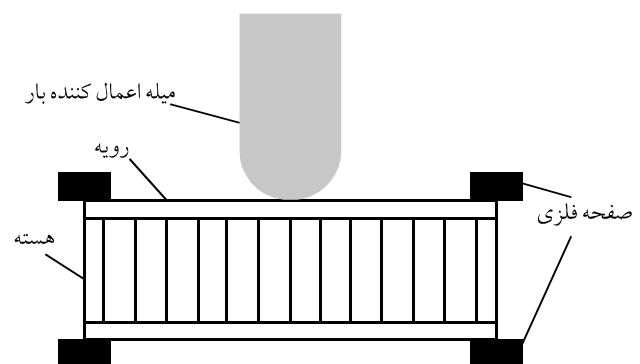
## دستگاه ها

برای انجام آزمون تورفتگی از دستگاه Instron مدل ۶۰۲۵ ساخت کشور انگلستان با ظرفیت اعمال نیروی ۱۰۰ kN استفاده شد. مقادیر نیرو و جایه جایی هنگام آزمایش به کمک رایانه دستگاه ثبت شد.

## نظری

برای شبیه سازی تورفتگی دیوارهای ساندویچی لانه زنبوری پلی پروپیلن با پوسته کامپوزیتی از نرم افزار ABAQUS v 6/6 استفاده شد. این نرم افزار دارای چند مدل موادی است و قابلیت انجام تحلیل های ایستا و پویا را دارد.

با توجه به تقارن موجود در شکل هندسی نمونه ها و میله اعمال کننده بار، شبیه سازی عددی به کمک مدل متقارن محوری انجام شد و تنها نیمی از نمونه ها برای شبیه سازی در نظر گرفته شدند. در شکل ۳ نحوه اعمال بار، تعداد اجزا و نحوه اعمال شرایط مرزی نشان داده شده است. برای شبکه کردن مدل از اجزای متقارن محوری چهار گره ای (CAX4) استفاده شده است. ۲۴ جزء در جهت طول نمونه ها در نظر گرفته شده است که اجزا به طرف ناحیه تماس با میله اعمال کننده نیرو متراکم تر



شکل ۲- نمایی از نحوه انجام آزمون تورفتگی.

اسفنج‌ها، کاربرد مدل Crushable Foam را برای لانه زنبوری‌های پلی‌پروپیلن مناسب‌تر می‌کند.

داده‌های ورودی برای بخش پلاستیک لانه زنبوری باید به شکل جدولی از تنش واقعی بر حسب کرنش پلاستیک لگاریتمی وارد شود. این داده‌ها را می‌توان از یک آزمون فشاری تک محوری به دست آورد که روی لانه زنبوری انجام می‌شود. منحنی تنش - کرنش به دست آمده از آزمون فشاری برای لانه زنبوری پلی‌پروپیلن با ضخامت ۲۰ mm در شکل (۵) نشان داده شده است. داده‌هایی که از دستگاه‌های انجام دهنده آزمون به دست می‌آید به شکل تنش مهندسی بر حسب کرنش مهندسی است. برای تبدیل تنش مهندسی به تنش واقعی از معادله (۱) استفاده می‌شود:

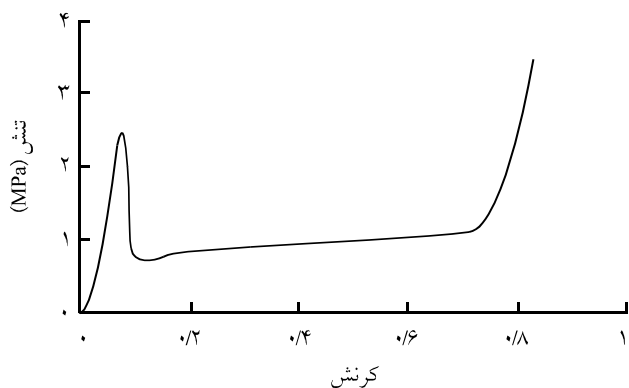
$$\sigma_t = \sigma_e(1 + \epsilon_e) \quad (1)$$

که در آن  $\sigma_t$  تنش واقعی،  $\sigma_e$  تنش مهندسی و  $\epsilon_e$  کرنش مهندسی را نشان می‌دهد. برای تبدیل کرنش مهندسی به کرنش پلاستیک لگاریتمی ابتدا کرنش مهندسی با معادله (۲) به کرنش واقعی (لگاریتمی) تبدیل می‌شود:

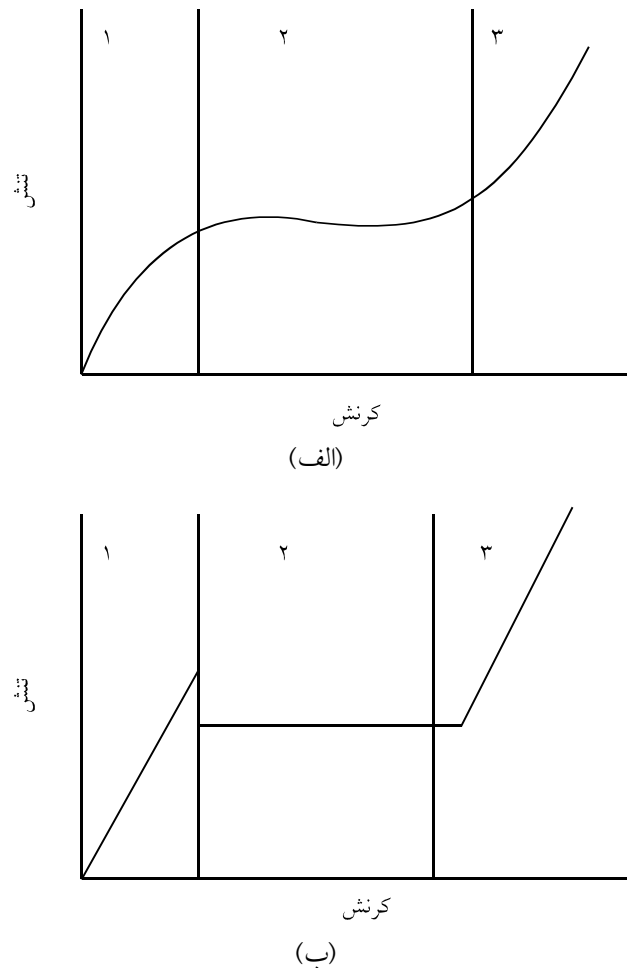
$$\epsilon_t = \ln(1 + \epsilon_e) \quad (2)$$

که در این معادله  $\epsilon_t$  کرنش واقعی و  $\epsilon_e$  کرنش مهندسی است. کرنش لگاریتمی پلاستیک به کمک معادله (۳) به دست می‌آید:

$$\epsilon_p = \epsilon_t - \frac{\sigma_t}{E} \quad (3)$$

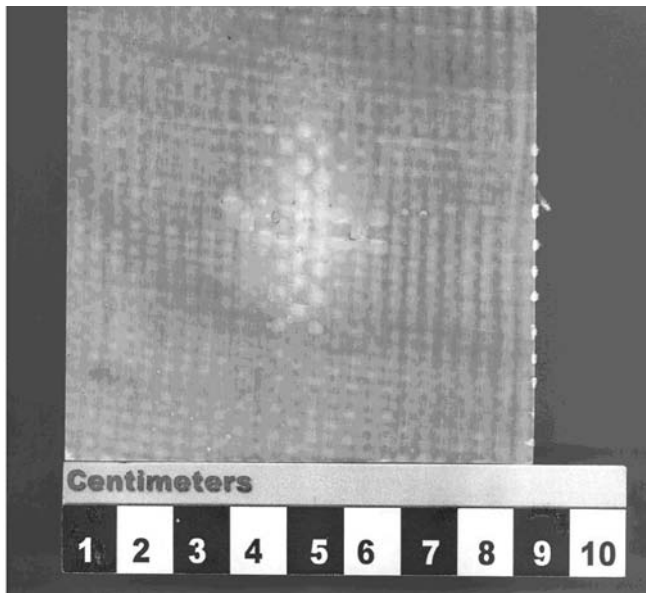


شکل ۵ - منحنی تنش - کرنش برای لانه زنبوری پلی‌پروپیلن با ضخامت ۲۰ mm.



شکل ۴ - مقایسه رفتار مکانیکی یک اسفنج: (الف) با یک لانه زنبوری و (ب) زیر نیروی فشاری.

بسیار مشابهی دارند. در شکل ۴ منحنی تنش - کرنش حاصل از آزمون فشاری یک اسفنج (۴ الف) و یک لانه زنبوری (۴ ب) نشان داده شده است. همان‌طور که در این شکل مشاهده می‌شود، در هر دو مورد ابتدا یک ناحیه کشسان خطی مشاهده می‌شود که مقدار مدول در آن ثابت است. بعد از نقطه تسلیم یک ناحیه مسطح که در آن مقدار تنش ثابت است، مشاهده می‌شود. در اسفنج‌ها وجود این ناحیه به دلیل شکست تدریجی سلول‌های آن است. اما، در لانه زنبوری دلیل مشاهده این ناحیه تاخورده‌گی تدریجی سلول‌های لانه زنبوری است. در هر دو مورد، در ماده تغییر شکل پلاستیک مشاهده می‌شود. در مرحله پایانی ناحیه متراکم شدن مشاهده می‌شود که در این ناحیه تنش به مقدار قابل توجهی افزایش نشان می‌دهد. علاوه بر شباهت کلی رفتار مکانیکی لانه زنبوری‌ها و اسفنج‌ها، نزدیک بودن مقدار عددی مدول (۴۹ MPa) و مقدار تنش ناحیه مسطح (۰/۹ MPa) به مدول و تنش ناحیه مسطح



شکل ۷ - ناحیه آسیب دیده در پوسته کامپوزیتی در اثر اعمال  $6 \text{ mm}$  جابه جایی پس از برداشتن بار.

فرض شده که رویه کامپوزیتی بدون آسیب می‌ماند، که در عمل امکان آسیب رویه کامپوزیتی و در نتیجه کاهش مقدار تحمل بار در آن وجود دارد، در نتیجه معمولاً نتایج حاصل از شبیه‌سازی بالاتر از نتایج تجربی به دست می‌آید.

در شکل ۷ ناحیه ظاهری آسیب در پوسته کامپوزیتی نشان داده شده است. ناحیه سفید مشاهده شده در مرکز نمونه مربوط به آسیب ایجاد شده در پوسته است. بنابراین، برای جابه جایی های بزرگ باید آسیب پوسته ها هم در شبیه‌سازی در نظر گرفته شود. در مجموع علاوه بر نزدیکی نتایج تجربی و نظری، روند منحنی (وجود تغییر شیب در منحنی) هم به طور نسبتاً خوب پیش‌بینی شده است. تغییر شیب در هر دو حالت آزمون تجربی و در تحلیل عددی دیده شد، که به دلیل آغاز رفتار پلاستیک هسته است.

همان طور که در شکل ۶ دیده می‌شود در جابه جایی های کم منحنی بار - جابه جایی خطی است که این رفتار تا زمان آغاز تغییر شکل پلاستیک هسته ادامه می‌یابد. بعد از آغاز تغییر شکل پلاستیک هسته منحنی بار - جابه جایی غیرخطی می‌شود و مقدار سختی سازه به طور قابل ملاحظه‌ای کاهش می‌یابد. حاصل این رفتار غیرخطی له شدن هسته در زیر پوسته است. در شکل ۸ برخی از مقطع دیواره ساندویچی بعد از  $6 \text{ mm}$  اعمال جابه جایی نشان داده شده که می‌توان نحوه له شدن هسته در زیر پوسته را مشاهده کرد.

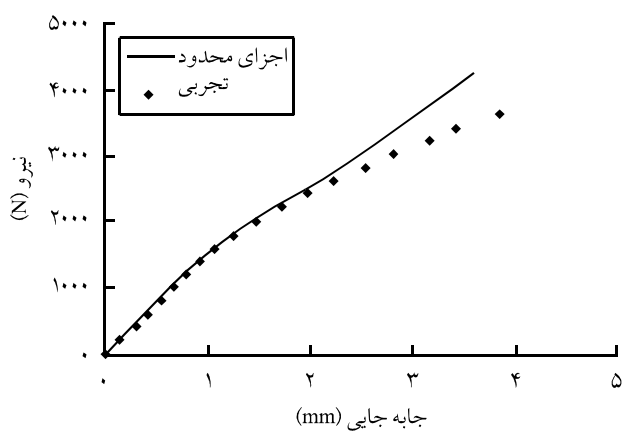
شکل ۹ توزیع مقدار جابه جایی پیش‌بینی شده را در اجزای دیواره ساندویچی بعد از  $3/6 \text{ mm}$  تورفتگی نشان می‌دهد. مشاهده می‌شود که

در این معادله  $E_p$  کرنش پلاستیک و  $E$  مدول کشسان ماده است. شرایط مرزی حاکم برای حل مسئله مزبور در شکل ۳ نشان داده شده است. با توجه به این که در ناحیه تماس نمونه و استوانه اعمال کننده بار جا به جایی زیادی در دیواره ساندویچی ایجاد می‌شود، در نظر گرفتن رفتار غیرخطی هندسی ضروری است. به این منظور از قابلیت شبیه‌سازی غیرخطی هندسی استفاده شد. این مهم با انتخاب گزینه NLGEOM از نرم افزار انجام شد.

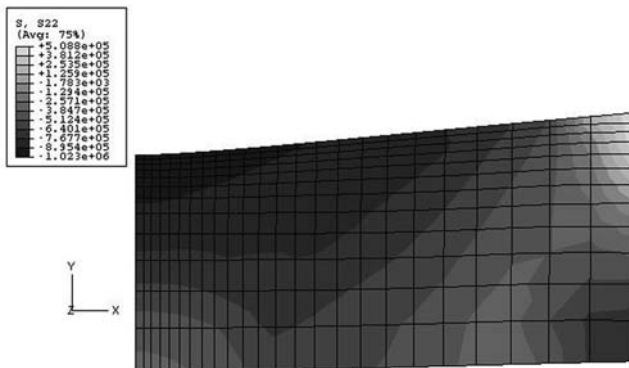
## نتایج و بحث

ساختار ساندویچی نشان داده شده در شکل ۶ به وسیله نرم افزار زیر بار عمودی اعمال شده به آن شبیه‌سازی شد. به جای اعمال بار در شبیه‌سازی مقدار  $3/6 \text{ mm}$  جابه جایی برای میله اعمال کننده بار در نظر گرفته شد. تحلیل به شکل دو بعدی انجام شد. برای حل مسئله سطح تماس بین جسم سخت فرورونده و سطح دیواره ساندویچی از گزینه Interaction نرم افزار استفاده شد. کل زمان اجرای تحلیل با مشخصات ذکر شده  $250 \text{ s}$  بود. در نخستین گام برای تشخیص میزان دقت و صحت شبیه‌سازی انجام شده نمودار بار - جابه جایی به دست آمده از نرم افزار با داده‌های حاصل از آزمون تجربی مقایسه شدند (شکل ۶).

همان طور که مشاهده می‌شود، نتایج شبیه‌سازی با داده‌های تجربی انطباق نسبتاً خوبی دارد که حاکی از قابلیت مدل در پیش‌بینی رفتار کلی سامانه است. عدمه ترین دلیلی که می‌توان از آن به عنوان عامل اختلاف بین مدل و داده‌های تجربی از آن یاد کرد، وجود نقص‌های ساختاری است که در مواد مورد استفاده وجود دارد. همچنین، در این شبیه‌سازی

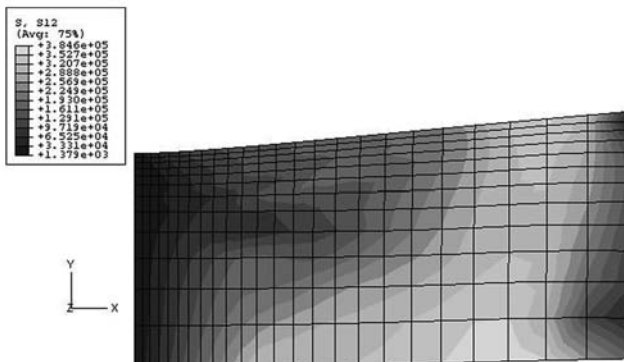


شکل ۶ - مقایسه منحنی بار - جابه جایی حاصل از نتایج تجربی و عددی تورفتگی دیواره ساندویچی.

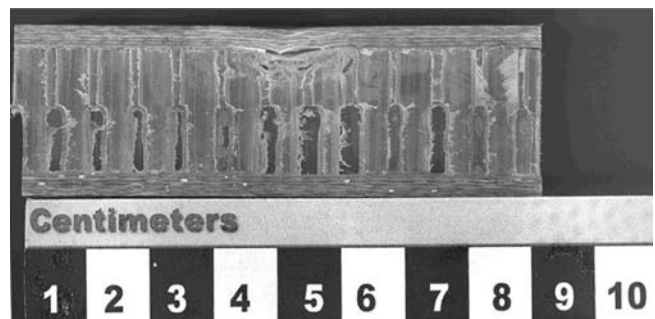


شکل ۱۰- میزان تنش مستقیم  $S_{22}$  پیش‌بینی شده در هسته برحسب پاسکال.

مطابق انتظار بیشترین مقدار تنش برشی در دیواره ساندویچی در ناحیه تماس بین میله اعمال کننده بار و پوسته ایجاد می‌شود. شکل ۱۱ تغییرات تنش برشی ( $S_{12}$ ) پیش‌بینی شده را در هسته نشان می‌دهد. در این شکل مشاهده می‌شود که کمترین مقدار تنش برشی در نواحی زیر استوانه اعمال کننده بار ایجاد می‌شود و بیشترین مقدار تنش برشی در نواحی مرکزی این شکل مشاهده می‌شود و با نزدیک شدن از مرکز نمونه به کناره‌ها تنش برشی ایجاد شده کاهش می‌یابد. این امر به آن دلیل است که نیرویی از بالا اعمال شده و سمت چپ هسته را حرکت می‌دهد، در حالی که ضلع سمت راست تقریباً ثابت نگه داشته می‌شود. بدین ترتیب اجزای واقع در مرکز این شکل از سمت چپ به طرف پایین کشیده شده و از سمت راست نیرویی به آنها وارد می‌شود تا ثابت باقی بمانند. در نتیجه نیروی برشی شدیدی در مرکز شکل ایجاد می‌شود. مقدار بیشینه تنش برشی ایجاد شده در هسته  $0.38 \text{ MPa}$  و کمترین مقدار تنش برشی در هسته  $0.73 \text{kPa}$  است.



شکل ۱۱- میزان تنش برشی  $S_{12}$  پیش‌بینی شده در اجزای هسته برحسب پاسکال.

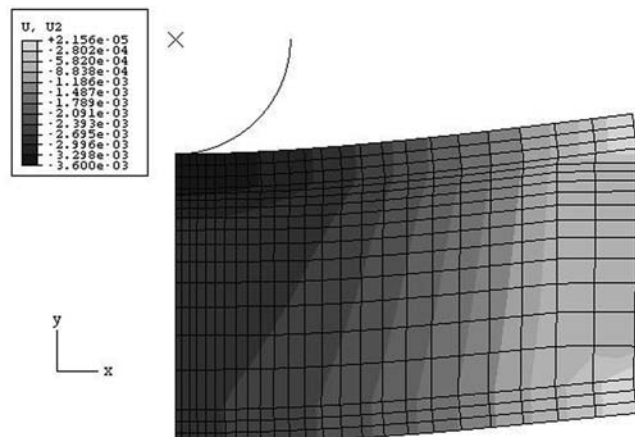


شکل ۸- ناحیه آسیب دیده در هسته در اثر اعمال  $6 \text{ mm}$  جایه جایی.

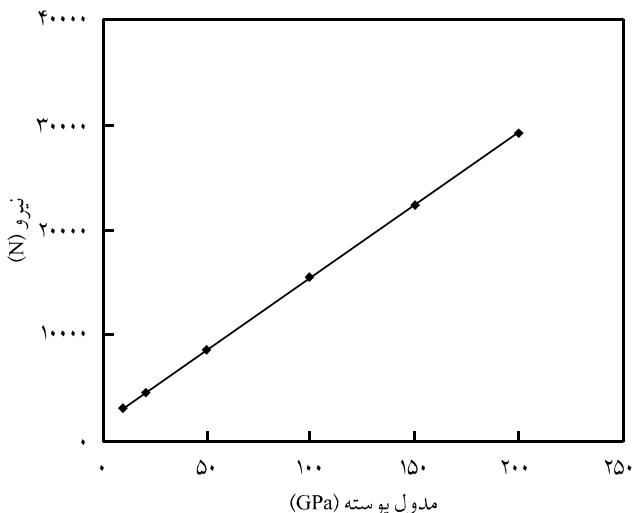
به جز نواحی که با رنگ روشن نشان داده شده و به مقدار بسیار کشیده شده‌اند، سایر نقاط مدل فشرده شده‌اند.

مطالعه توزیع تنش در سازه‌ها می‌تواند به درک بهتر ساز و کار تغییر شکل آنها کمک شایانی کند. شکل ۱۰ تنش مستقیم را در جهت عمودی ( $S_{22}$ ) ایجاد شده در دیواره ساندویچی نشان می‌دهد.

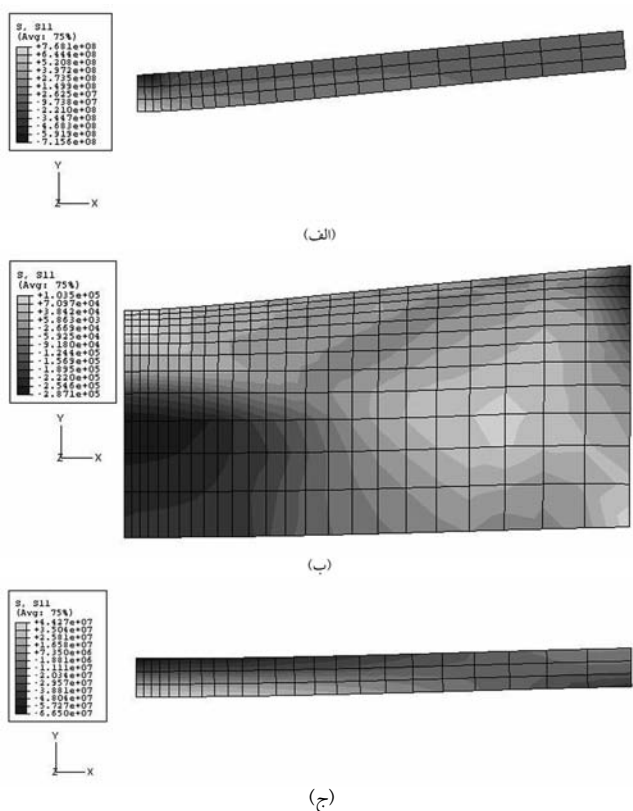
به دلیل اختلاف تنش زیاد بین رویه و هسته تفاوت تنش در نقاط مختلف هسته را نمی‌توان در شکل کامل مشاهده کرد. از این‌رو، برای ایجاد وضوح بیشتر در شکل فقط اجزای مربوط به هسته نشان داده شده است. به جز ناحیه بالای سمت راست نمونه که مقدار تنش مثبت است، یعنی کشش وارد می‌شود، در سایر بخش‌ها مشاهده می‌شود که هسته تحت تنش فشاری قرار می‌گیرد. بیشترین مقدار تنش فشاری،  $0.51 \text{ MPa}$  در ناحیه‌ای است که بیشترین جایه جایی عمودی اعمال می‌شود و با فاصله گرفتن از این ناحیه مقدار آن تا  $0.13 \text{ MPa}$  کاهش می‌یابد.



شکل ۹- میزان جایه جایی پیش‌بینی شده برحسب میلی متر در جهت عمودی در نقاط مختلف دیواره ساندویچی.



شکل ۱۴ - منحنی تغییرات نیروی واکنش با مدول پوسته.

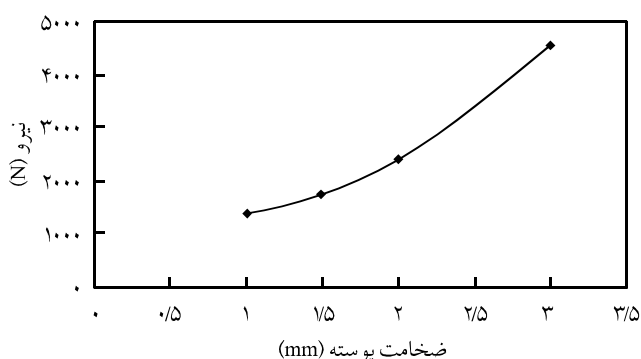


شکل ۱۲ - میزان تنش مستقیم S11 پیش‌بینی شده: (الف) در پوسته بالا، (ب) در هسته و (ج) در پوسته پایین بر حسب پاسکال.

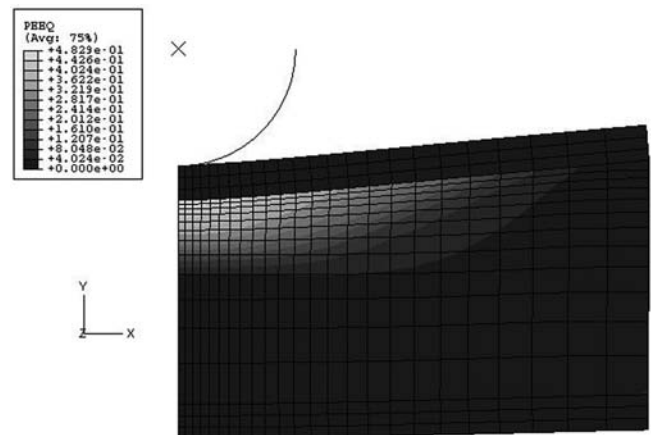
همین مورد در پوسته پایین هم دیده می‌شود، یعنی سطح رویی پوسته پایین دچار تنش فشاری شده و سطح زیری آن دچار تنش کششی شده است. اما، در هسته عکس این حالت مشاهده می‌شود. یعنی سطح رویی آن دچار تنش کششی و سطح زیرین آن تحت تنش فشاری قرار گرفته است. به نظر می‌رسد، این حالت به دلیل اثر پوسته باشد.

در نقاطی که هسته با پوسته در تماس است، کاملاً از پوسته تبعیت می‌کند. یعنی اگر در فصل مشترک پوسته کشیده شود، هسته هم در زیر آن کشیده می‌شود و اگر پوسته فشرده شده باشد، هسته هم در نقاط تماس با پوسته فشرده می‌شود.

در شکل ۱۳ مقدار کرنش پلاستیک معادل ایجاد شده در دیواره ساندویچی نشان داده شده است. این کمیت حاصل جمع مؤلفه‌های کرنش پلاستیک ایجاد شده در جهات مختلف است. مشاهده می‌شود که کرنش پلاستیک ایجاد شده در هسته در جهت (x) گسترش



شکل ۱۵ - منحنی تغییرات نیروی واکنش با ضخامت پوسته.



شکل ۱۳ - میزان کرنش پلاستیک معادل (PEEQ) در دیواره ساندویچ.

## نتیجه‌گیری

بررسی رفتار ساختارهای ساندویچی در برابر بارهای متراکز اهمیت زیادی دارد. در این مقاله سعی شد، رفتار تورفتگی دیواره ساندویچی لانه زنبوری گرمانزم شبیه سازی شوند. به دلیل عدم وجود مدل موادی مناسب برای لانه زنبوری‌ها سعی شد، با توجه به شباهت‌های زیادی که میان رفتار اسفنج‌ها و لانه زنبوری‌ها وجود دارد، از مدل موادی ویژه اسفنج‌ها برای لانه زنبوری استفاده شود. در مقادیر کم جایه‌جایی نتایج حاصل از تحلیل عددی انطباق خوبی با نتایج تجربی نشان دادند. به دلیل ایجاد آسیب در پوسته و همچنین نقص‌های موجود در نمونه‌های واقعی، در جایه‌جایی‌های نسبتاً بالا انطباق نتایج تجربی و عددی به تدریج کمتر می‌شود که این امر در شبیه سازی دیوارهای ساندویچی دارای هسته اسفنجی نیز مشاهده می‌شود.

در نتیجه به نظر می‌رسد مدل Crushable Foam در جایه‌جایی‌های نسبتاً کم (حدود ۱۵ درصد ضخامت نمونه) قابلیت شبیه سازی رفتار مکانیکی لانه زنبوری‌های گرمانزم را دارد و در تحلیل‌های ساده نیازی به استفاده از مدل‌های موادی پیچیده برای لانه زنبوری‌های گرمانزم نیست. در نهایت اثر پارامترهای نظیر ضخامت و مدل پوسته بر نیروی واکنش ایجاد شده بر اثر  $3/8\text{ mm}$  جایه‌جایی میله اعمال کننده بار بررسی و معلوم شد که ضخامت پوسته بیش از مدل آن بر نیروی واکنش ایجاد شده به وسیله دیواره ساندویچی اثر دارد.

## قدرتانی

بدین وسیله از صندوق حمایت از پژوهشگران کشور به دلیل حمایت مالی از طرح پژوهشی لانه زنبوری‌های گرمانزم با کد پروژه ۸۴۰۴۶ صمیمانه سپاسگزاری می‌شود.

یافته است و ناحیه نسبتاً بزرگی دچار کرنش پلاستیک شده است. این امر به این دلیل است که رویه‌ها باعث توزیع تنش در جهت (x) شده و کرنش پلاستیک در جهت (x) گسترش یافته و در جهت (y) محدود می‌شود. در این شکل هم مشاهده می‌شود که بیشترین مقدار کرنش پلاستیک در ناحیه زیر جسم فرورونده ایجاد می‌شود.

در ادامه اثر مدلول پوسته و ضخامت پوسته بر مقدار نیروی لازم برای ایجاد مقدار معینی جایه‌جایی خاص بررسی شد. به این منظور ابتدا پوسته‌هایی با مدلول‌های متفاوت در مدل در نظر گرفته شده و مقدار نیروی واکنش ایجاد شده محاسبه شد.

نتایج به دست آمده در شکل ۱۴ نشان داده شده است. همان‌طور که مشاهده می‌شود با افزایش مدلول پوسته از  $10\text{ GPa}$   $200\text{ kN}$  نیروی واکنش ایجاد شده در محل اعمال نیرو به پوسته تقریباً به طور خطی از  $3/8\text{ mm}$  افزایش می‌یابد.

همچنین، اثر ضخامت پوسته بر نیروی واکنش بررسی شد. چهار پوسته با ضخامت متفاوت اما با مدلول یکسان ( $19\text{ GPa}$ ) در نظر گرفته شد و مقدار نیروی واکنش ایجاد شده در نتیجه اعمال  $3/8\text{ mm}$  جایه‌جایی محاسبه شد.

همان‌طور که در شکل ۱۵ مشاهده می‌شود، با افزایش ضخامت پوسته نیروی واکنش افزایش می‌یابد، اما برخلاف مورد قبل این افزایش به شکل خطی نیست.

نتایج به دست آمده نشان می‌دهند که چنان‌چه مدلول پوسته نصف شود، یعنی از  $20\text{ GPa}$  به  $10\text{ GPa}$  کاهش یابد، نیروی واکنش از  $4564\text{ N}$  به  $3074\text{ N}$  می‌رسد، اما چنان‌چه مدلول پوسته ثابت نگه داشته شود و ضخامت پوسته نصف شود، یعنی از  $3/8\text{ mm}$  به  $1/5\text{ mm}$  کاهش یابد، نیروی واکنش از  $4564\text{ N}$  به  $1787\text{ N}$  کاهش می‌یابد. این امر نشان می‌دهد که ضخامت بیش از مدلول پوسته بر مقدار نیرویی که دیواره ساندویچی قادر است، تحمل کند اثر دارد.

## مراجع

- Gibson L.J. and Ashby M.F., Cellular Solids Structure and Properties, *Pergamon*, 1-174, 1998.
- Bitzer T., *Honeycomb Technology - Materials, Design, Manufacturing, Applications and Testing*, Chapman and Hall, 1-199, 1997.
- Passaro A., Corvaglia P., Manni O. and Barone L., Processing-properties Relationship of Sandwich Panels with Polypropylene-core and Polypropylene-matrix Composite Skins, *Polym. Compos.*, **25**, 307-318, 2004.
- Ning H., Janowski G.M., Vaidia U.K. and Husman G., Thermo-plastic Sandwich Structure Design and Manufacturing for the Body Panel of Mass Transit Vehicle, *Compos. Struct.*, **80**, 82-91, 2007.
- Khatibi M.A. and Rahimi H., Fabrication Process and Investigation of Properties of Thermoplastic Honeycomb Sandwich Panels, *J. Polym. Sci. Technol. (Persian)*, **6**, 345-381, 2005.
- Meraghni F., Desrumaux F. and Benzeggagh M.L., Mechanical Behaviour of Cellular Core for Structural Sandwich, *Compos-*

- ites, **30A**, 767-779, 1999.
7. Barikani M. and Omidian H., Honeycombs, *J. Polym. Sci. Technol. (Persian)*, **1**, 4-10, 1991.
  8. Barikani M. and Omidian H., Effective Parameters in Selection of Adhesive for Sandwich Panels and Honeycombs, *J. Polym. Sci. Technol. (Persian)*, **4**, 236-246, 1992.
  9. Zenkert D., Shipsha A. and Persson K, Static Indentation and Unloading Response of Sandwich Beams, *Composites*, **35B**, 511-522, 2004.
  10. Mirzapour A., Beheshty M.H. and Vafayan M., The Response of Sandwich Panels with Rigid Polyurethane Foam Cores under Flexural Loading, *Iran. Polym. J.*, **14**, 1082-1088, 2005.
  11. Beheshty M.H., Kadkhodaieyan M.A. and Vafayan M., Effect of Simultaneous and Single Curing Processes on Properties of Phenolic Sandwich Structures, *J. Polym. Sci. Technol. (Persian)*, **14**, 151-157, 2005.
  12. Rizov V.I., Non-linear Indentation Behavior of Foam Core Sandwich Composite Materials-A 2D Approach, *Computational Mater. Sci.*, **35**, 107-115, 2006.
  13. Koissin V., Shipsha A. and Rizov., The Inelastic Quasi-static Response of Sandwich Structures to Local loading, *Compos. Struct.*, **64**, 129-138, 2004.
  14. Chung J. and Waas A.M., Compressive Response of Circular Cell Polycarbonate Honeycombs under In-plane Biaxial Static and Dynamic Loading. Part II: Simulation, *Int. J. Impact Eng.*, **27**, 729-754, 2002.
  15. Papka S.D. and Kyriakides S., In-plane Biaxial Crushing of Honeycombs, Part II: Analysis, *Int. J. Solid. Struct.*, **36**, 4379-4423, 1999.
  16. Nguyen M.Q., Jacombs S.S., Thomson R.S., Hachenberg D. and Scott M.L., Simulation of Impact on Sandwich Structures, *Com-*
  - pos. Struct.*, **67**, 217-227, 2005.
  17. Aktai L., Johnson A.F. and Kroplin B.H., Numerical Modelling of Honeycomb Core Crush Behavior, *Eng. Fracture Mech.*, In Press, 2007.
  18. Meo M., Morris A.J., Vignievic R. and Marengo G., Numerical Simulation of Low-velocity Impact on an Aircraft Sandwich Panel, *Compos. Struct.*, **62**, 353-360, 2003.
  19. Qiao P. and Yang M., Impact Analysis of Fiber Reinforced Polymer Honeycomb Composite Sandwich Beams, *Composites*, **38B**, 739-750, 2007.
  20. Xie Z. and Vizini A.J., A Feasible Methodology for Engineering Application in Damage Tolerance of Composite Sandwich Structures, *J. Compos. Mater.*, **38**, 891-914, 2004.
  21. Zhenyu X. and Hutchinson J.W., Constitutive Model for Quasi-static Deformation of Metallic Sandwich Cores, *Int. J. Num. Meth. Eng.*, **61**, 2205-2238, 2004.
  22. Zhou D.W. and Stronge W.J., Dynamic Indentation of Light-weight Sandwich Panels, [http:// www.msm.cam.ac.uk](http://www.msm.cam.ac.uk), available on 15 July 2007.
  23. Rizzi E., Papa E. and Corigliano A., Mechanical Behavior of a Syntactic Foam: Experiments and Modeling, *Int. J. Solid. Struct.*, **37**, 5773-5794, 2000.
  24. Quinn J.A., Composite Design Manual, James Quinn Associate Ltd, 2002.
  25. Khalili V., *Experimental and Numerical Study of Processing and Geometrical Variables on Mechanical Properties of Thermoplastic Honeycombs*, MSc Thesis, Iran Polymer and Petrochemical Institute, March 2008.
  26. Deshpande V.S. and Fleck N.A., Isotropic Constitutive Models for Metallic Foams, *J. Mech. Phys. Solid.*, **48**, 1253-1283, 2000.

